

تحلیل واماندگی سازه‌ای با احتساب اثرات نامعینی در خواص مکانیکی

سهراب آسترکی^۱

دانشکده مهندسی هواپما

دانشگاه هوائی شهید ستاری

(تاریخ دریافت: ۱۳۹۲/۴/۱۹؛ تاریخ پذیرش: ۱۳۹۲/۸/۲۰)

چکیده

هدف از این مطالعه، کمیت بخشی به پارامترهای نامشخص طراحی و احتساب مستقیم اثرات پارامترهای نامعین در تحلیل سازه‌ای بهمنظور ارزیابی ساخته‌های قابلیت اعتماد می‌باشد. با این وجود اگر روش‌های قابلیت اعتماد با حل‌های متدالول تحلیل سازه‌ای مرتبط نگردد، کمتر مورد استفاده قرار می‌گیرند. لذا ضروری است که این‌گونه روش‌ها با حل‌های اجزاء محدود ادغام گردند. برای این منظور در این مقاله، روشی جهت تعیین ساخته‌های قابلیت اعتماد بر مبنای روش تقریب مرتبه اول و دوم قابلیت اعتماد سازه‌ای همراه با نرم‌افزار جامع اجزاء محدود ارائه گردیده است. در این روش تابع حد حالت و گرادیان‌های ناشی از متغیرهای نامعین طراحی از مدل اجزاء محدود محاسبه می‌شوند. بدین‌ترتیب می‌توان بدون استفاده از تقریب‌های نظری توابع پاسخ سطحی، مدل سازه‌ای را مستقیماً مورد تحلیل قرار داد. ارزیابی الگوریتم ارائه شده براساس مکانیک شکست احتمالی و تعیین میزان انرژی شکست بین لایه‌ای در مواد همسانگرد و مرکب لایه‌ای انجام شده است و هدف از آن مطالعه اثرات پارامترهای نامشخص طراحی در حفظ یکپارچگی سازه‌های حاوی ترک بین لایه‌ای می‌باشد. نتایج نشان می‌دهد که فرض قطعی برای پارامترهای نامشخص خواص مکانیکی، طراحی غیرمحافظه کارانه را همراه خواهد داشت. همچنین در این مطالعه برای تعیین تابع توزیع فراوانی مدول الاستیسیته از توزیع لگاریتمی نرمال را برای این ضریب در این نوع فولاد توصیه می‌نماید.

واژه‌های کلیدی: قابلیت اعتماد، اجزاء محدود، تقریب مرتبه اول، تقریب مرتبه دوم، احتمال واماندگی

Structural Failure Analysis Based on the Uncertainty of Mechanical Properties

S. Astaraki

Department Of Aerospace Engineering

Shahid Sattari Air University

(Received: 10/July/2013; Accepted: 11/November/2013)

ABSTRACT

The objective of this study was quantified of uncertainty design parameters and included their effects explicitly in structural analysis for evaluated reliability indexes. On the other hand, structural reliability methods are of little use if they cannot be used in conjunction with the best available software for current structural analysis. Hence, it becomes very important to couple structural reliability algorithms with finite element analysis of structural problems. So in this research such coupling can be performed. It is used an algorithm for evaluation of first and second order approximation of reliability indexes based on the finite element programs. In this algorithm the limit state function and relative's gradient of uncertainty parameters computed using finite element model. So structural model directly analyzed without any approximation such as response surface methodology. Based on the probability of fracture mechanics, strain energy release rate is evaluated for isotropic and composite material to demonstrate the application of the algorithm. In the paper also, the Young's modulus probability distribution is determined for 26 steel samples with over the 35 service life years.

Keywords: Reliability, Finite Element Method, First Order Approximation, Probability Failure

انتخاب‌های اجرایی خواهد بود. درواقع توسعه روش‌های تحلیل سازه‌ای بر مبنای قابلیت اعتماد از اواخر دهه ۶۰ میلادی آغاز شده و تلاش برای بهبود عملکرد کیفی و محاسباتی آنها ادامه دارد. به طور مثال روش‌هایی نظیر قابلیت اعتماد مرتبه‌اول و دوم و یا روش‌های نمونه‌گیری در زمرة روش‌های تحلیل قابلیت اعتماد، مستقل از زمان^۴ قرار می‌گیرند. در حالی که در سال‌های اخیر الگوریتم‌های جهت تحلیل سازه‌ای قابلیت اعتماد وابسته به زمان ارائه گردیده است [۶-۸]. با این وجود، اثر بخشی این قبیل روش‌ها در دست‌یابی به حاشیه ایمنی واقعی‌تر، زمانی میسر خواهد شد که بتوان آن را با روش‌های جامع تحلیل سازه‌ای مرسوم ادغام نمود. در غیراینصورت دامنه کاربرد آن تنها به مدل‌های ساده و حل‌های خطی محدود خواهد شد (به عنوان مثال می‌توان به نرم‌افزارهای ارائه شده در دانشگاه برکلی در این زمینه اشاره نمود [۹]). در همین راستا، تلاش‌های فراوانی توسط محققین به جهت توسعه روش اجزاء محدود احتمالی^۵ صورت گرفته است که از آن جمله می‌توان به مقالات [۱۰-۱۱] اشاره نمود. در این مقاله با اهتمام به اهمیت موضوع کمیت بخشی به متغیرهای نامشخص و حضور صریح اثرات آنها در تحلیل‌های مربوطه از یک سوء، به جهت عدم دسترسی به نرم‌افزارهای اجزاء محدود احتمالی (همانند^۶ NESSUS) در داخل، به توسعه روشی جهت تعیین شاخص‌های قابلیت اعتماد یک سازه با بهره‌گیری از امکانات نرم‌افزارهای جامع اجزاء محدود پرداخته شده است. این الگوریتم براساس روش تقریب مرتبه‌اول و دوم قابلیت اعتماد در نرم‌افزار MATLAB و پاسخ‌های سازه‌ای معادل آن در نرم‌افزار ANSYS توسعه یافته است. با توجه به اهمیت موضوع شکست در سازه‌ها، ارزیابی روش ارائه شده براساس مکانیک شکست احتمالی و تعیین میزان انرژی شکست بین لایه‌ای در مواد همسانگرد^۷ و مرکب لایه‌ای در دو مدل ENF^۸ و DCB^۹ انجام شده است و هدف از آن مطالعه اثرات پارامترهای نامشخص طراحی در حفظ یک‌پارچگی سازه‌های حاوی ترک بین لایه‌ای می‌باشد. تنوع المان‌های به کاررفته در این مدل‌ها و استفاده از توانائی‌های

۱- مقدمه

طراحی سازه‌های هوایی به‌طور معمول براساس روش‌های مرسوم و مطابق با آیین‌نامه‌ها صورت می‌گیرد. در این‌گونه روش‌ها، طراحی محافظه‌کارانه از طریق اعمال ضربی اطمینان حاصل می‌شود. به‌طوری‌که در بخش هواپیماهای تجاری، اطمینان از طراحی اینم با استفاده از ضربی اطمینان ۱/۵ برای نیروها و مقادیر مبنای A و یا B برای خواص مکانیکی حاصل می‌گردد [۱]. در حال حاضر عمر بالای هواپیماها، به یکی از مهمترین نگرانی‌های صنعت هوایی بدل شده. به‌طوری‌که تا جایگزینی هواپیما مسن با هواپیماهای جدید، تمدید عمرهای قابل توجهی بایستی صورت گیرد. این در حالی است که عمر بیشتر از ۶۰ درصد هواپیماهای ساخته شده در صنایع هواپیماسازی ایالات متحده تنها تا سال ۲۰۰۰ میلادی که بخش کثیری از خطوط هوایی دنیا را تشکیل می‌دهند به بیش از ۲۰ سال فزوی یافته است [۲]. در چنین شرایطی بسندن‌نمودن به خواص مکانیکی مواد نو و سالم جهت تحلیل ایمنی سازه‌های فرسوده نمی‌تواند متنضم اطمینان لازمه باشد. از طرفی وجود نامشخص‌های^۱ ذاتی در کمیت‌های نظیر، نیروهای اعمالی، خواص مکانیکی مواد، تقاضوت در شیوه نگهداری، تعمیر و... سبب شده تا طی دهه‌های اخیر تمايل فزآینده‌ای در بین محققین جهت جایگزینی روش‌های طراحی قطعی با روش‌های طراحی بر مبنای قابلیت اعتماد ایجاد شود [۳-۵]. در واقع در رهیافت‌های مرسوم طراحی، حل مسائل، از قطعی فرض نمودن مقادیر پارامترهای نامشخص و استفاده از ضربی اطمینان جهت احتساب اثرات نامشخص حاصل می‌شود. با این حال مقادیر ضربی اطمینان براساس تجربیات گذشته بدست آمده و به‌طور قطعی نمی‌تواند اینم را به‌ویژه در سازه‌های فرسوده^۲ تضمین نماید. همچنین در روش‌های مرسوم، هیچ‌گونه اطلاعاتی از چگونگی تاثیر پارامترهای نامشخص بر اینم سازه ارائه نمی‌شود و لذا طراحی سیستمی با توزیع یکنواختی از یک سطح اینم، تنها براساس یک ضربی اطمینان تجربی کار بسیار دشواری خواهد بود. زمانی که اطمینان از عملکرد یک سازه با درنظرگرفتن وضعیت پارامترهای نامشخص آن مطرح می‌شود، تحلیل‌های احتمالی نظیر روش‌های قابلیت اعتماد مرتبه‌اول و دوم و روش‌های مختلف نمونه‌گیری^۳ نظیر روش شبیه‌سازی مونت‌کارلو

4-Time Invariant

5- Probability Finite Element Method

6- Numerical Evaluation of Stochastic Structures Under Stress

7- Isotropic

8- Double Cantilever Beam

9- Edge Knife Flexure

1-Uncertainties

2-Aged

3-Sampling Methods

چنین تابعی، انتگرال گیری تحلیلی از معادله (۳) بر روی دامنه تعریفی، امکان پذیر نبوده و تنها با استفاده از روش‌های عددی قابل محاسبه می‌باشد. از طرفی، تعیین تحلیلی تابع حد حالت سازه، که مبین دامنه انتگرال گیری معادله (۳) نیز است برای سازه‌های پیچیده کار ساده‌ای نمی‌باشد. لذا در این مطالعه مطابق با شکل ۱ مقادیر تابع حد حالت از حل مدل اجزاء محدود به دست می‌آید. بدین ترتیب که بهازای هر مقدار از بردار نامشخص پارامترهای طراحی، حلی قطعی از مدل اجزاء محدود حاصل شده و دامنه انتگرال گیری معادله (۳) که همان تابع حد حالت است مشخص می‌گردد.

۳- تقریب مرتبه‌اول و دوم قابلیت اعتماد

به‌طورکلی روش‌های مختلف ارزیابی شاخص‌های قابلیت اعتماد به دو دسته تحلیلی و شبیه‌سازی تقسیم می‌شوند. در روش‌های تحلیلی برای ارائه سیستم، از مدلی ریاضی که معمولاً با ساده‌سازی همراه است استفاده می‌شود و شاخص قابلیت اعتماد از حل مستقیم ریاضی مسئله به دست می‌آید، درحالی که در روش‌های شبیه‌سازی، شاخص‌های قابلیت اعتماد از مشابه‌سازی فرآیند واقعی و باتوجه به رفتار اتفاقی سیستم برآورد می‌شود. در این مقاله بهمنظور تعیین شاخص‌های قابلیت اعتماد از روش تحلیلی تقریب مرتبه‌اول و دوم قابلیت اعتماد^۴ استفاده شده است. درروش تقریب مرتبه‌اول از نگاشتی خطی با توزیع نرمال معادل^۵، برای حل معادله انتگرال (۳) با دامنه مرزی فراصفحه استفاده می‌شود [۱۲-۱۳]. توسعه این روش براساس استفاده از تقریب مرتبه‌اول بسط تیلور و بهازای مقادیر متوسط متغیرهای تصادفی تابع حد حالت صورت می‌گیرد [۱۲].

$$\tilde{g}(X) \approx g(\mu_x) + \nabla g(\mu_x)^T (X_i - \mu_{xi}), \quad (4)$$

$$\mu_x = \{\mu_{x1}, \mu_{x2}, \dots, \mu_{xn}\}^T,$$

$$\nabla g(\mu_x) = \left\{ \frac{\partial g(\mu_x)}{\partial x_1}, \frac{\partial g(\mu_x)}{\partial x_2}, \dots, \frac{\partial g(\mu_x)}{\partial x_n} \right\}^T$$

ثابت می‌شود مقادیر متوسط و انحراف استاندارد تابع حد حالت تقریبی، به صورت زیر محاسبه می‌شوند.

$$\mu_{\tilde{g}} = g(\mu_x) \quad (5)$$

$$\sigma_{\tilde{g}} = \left[\sum_{i=1}^n \left(\frac{\partial g(\mu_x)}{\partial x_i} \right)^2 \sigma_{xi}^2 \right]^{\frac{1}{2}} \quad (6)$$

بالقوه نرم‌افزار ANSYS در المان‌بندی، شبیه‌سازی رفتار مواد، محاسبات و... نشان از افزایش توانائی تحلیل مسائل قابلیت اعتماد سازه‌ای براساس امکانات موجود در مقایسه با نرم‌افزارهای ارائه گردیده و قابل دسترس در مراجعه [۹] می‌باشد. همچنین در این مطالعه بهمنظور ارزیابی صحیح از رفتار مکانیکی سازه‌های فرسوده^۱، از خواص مکانیکی آنها، جهت تحلیل مواد همسانگرد استفاده شده است، بدین‌منظور از نتایج تست کشش ۲۶ نمونه‌ی آلیاژ فولادی ۴۳۴۰ با عمر تقویمی بیش از ۳۵ سال، جهت تعیین ضریب یانگ و مدل توزیع فراوانی در روش قابلیت اعتماد مرتبه‌اول و دوم استفاده شده است.

۲- الگوریتم پیشنهادی

سازه‌ای را درنظر بگیرید که پارامترهای طراحی آن بر حسب متغیر تصادفی x_i بیان شود. این پارامترها شامل نیروهای اعمالی، خواص مکانیکی و هندسه سازه می‌باشند. هر متغیر f_{xi} از این پارامترها را می‌توان با تابع چگالی احتمال x_i (X) توصیف نمود. چنانچه پاسخ سازه بهازای نیروی اعمالی که شامل تغییرشکل، تنش و... است با پارامتر $R(X)$ بیان شود، در این صورت تابع حد حالت^۲ سازه بهازای هر یک از مقادیر بحرانی مدهای مختلف شکست (X_c) نظیر ناپایداری، سیلان، تغییرشکل غیرمجاز و ... بهصورت زیر تعریف می‌گردد.

$$g(R(X), x_c) = 0 \quad (1)$$

اگرچه معادله (۱) به‌طور صریح بر حسب پاسخ سازه بیان شده اما بردار نامشخص پارامترهای طراحی در آن بهصورت ضمنی وارد می‌شوند. لذا ارتباط بین پارامترهای طراحی و پاسخ سازه را می‌توان از طریق حل اجزاء محدود تعیین نمود. مطابق با معادله (۱) محدوده واماندگی سازه که از شاخص‌های قابلیت اعتماد است بهصورت زیر تعریف می‌شود:

$$P_f = \{X | g(R(X), x_c) \leq 0\} \quad (2)$$

احتمال واماندگی سازه نسبت به مقادیر بحرانی مدهای واماندگی، با انتگرال گیری از تابع چگالی احتمال اشتراکی^۳ بر روی محدوده واماندگی به دست می‌آید.

$$P_f = \int_{g(X, x_c) \leq 0} f_X(x) dx \quad (3)$$

به‌طورکلی تعیین تابع چگالی احتمال اشتراکی برای چند متغیر تصادفی کاری بسیار مشکل می‌باشد و درصورت تعیین

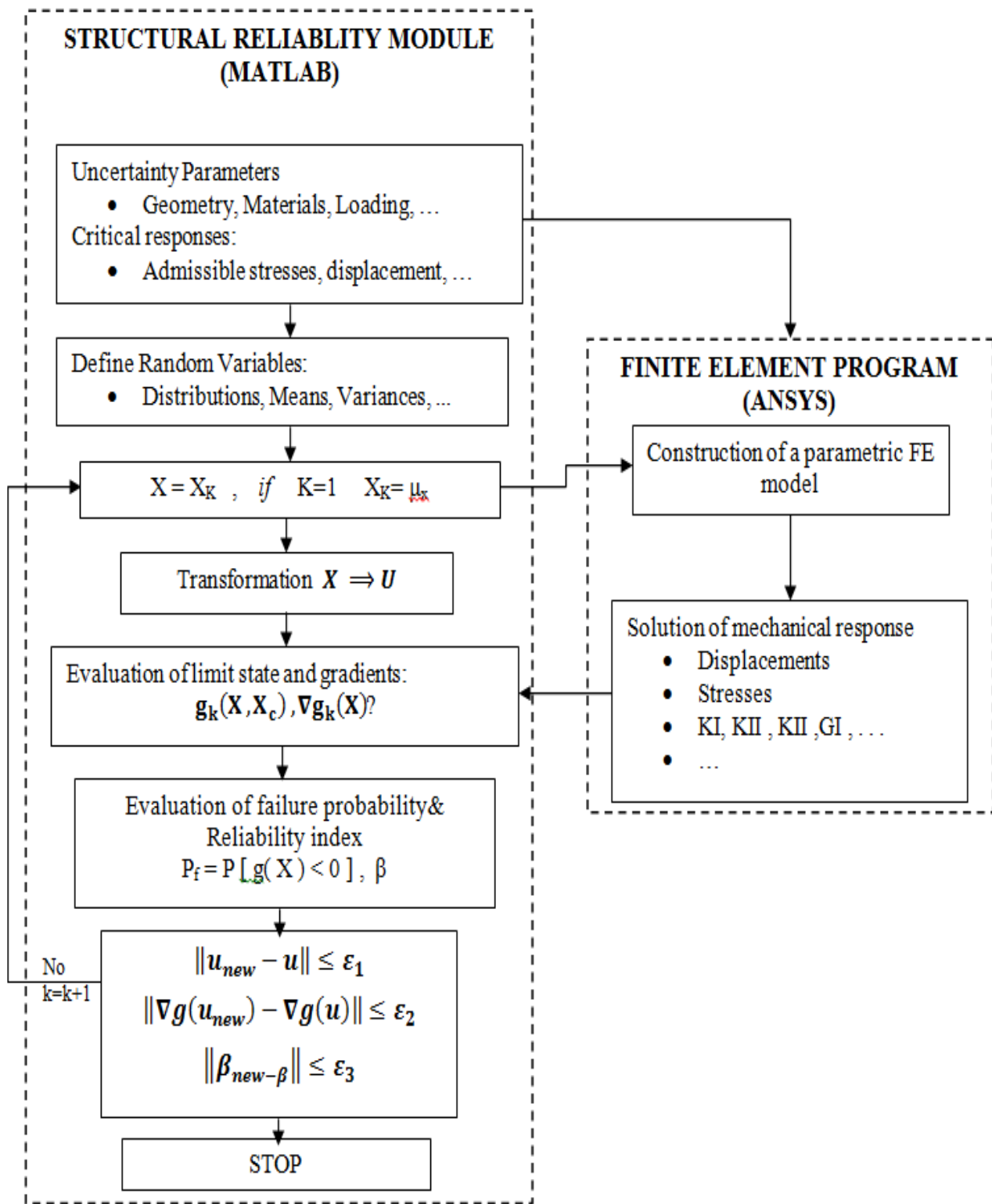
4-First Order & Second Order Reliability Methods (FORM & SORM)

5-Equivalent Normal Distribution

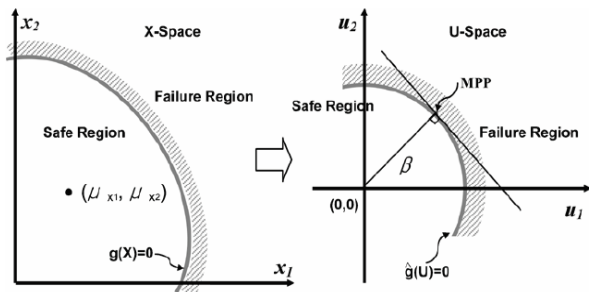
1-Ageing Structure

2-Limit State Function

3-Joint Probability Density Function



شکل (۱): الگوریتم پیشنهادی جهت تعیین تابع حد حالت و گرادیان‌های مربوطه.



شکل (۲) : نگاشت تابع حد حالت از دستگاه مختصات X به U .

عملکرد روش تقریب مرتبه اول برای آن دسته از مسائلی که تابع حد حالت آن در همسایگی نقطه طراحی خطی و یا تقریباً خطی باشد مناسب است با این حال چنانچه رویه واماندگی^۱ دارای انحنای زیادی باشد احتمال واماندگی ارزیابی شده توسط این روش با استفاده از شاخص ایمنی β غیرمعقول بوده و از دقت کافی برخوردار نمی‌باشد. برای رفع این مشکل می‌توان تابع حد حالت را با تقریب مرتبه دوم بسط سری تیلور و یا توابع چندجمله‌ای در نقطه MPP دستگاه مختصات U معادل نمود [۱۶-۱۸].

$$g(U) \approx q(U) = g(u^*) + \nabla(g(u^*))(U - u^*)^T + \frac{1}{2}(U - u^*)H(u^*)(U - u^*)^T, \quad (14)$$

$$H(u^*) = \begin{bmatrix} \frac{\partial^2 g}{\partial U_1^2} & \frac{\partial^2 g}{\partial U_1 \partial U_2} & \dots & \frac{\partial^2 g}{\partial U_1 \partial U_n} \\ \frac{\partial^2 g}{\partial U_2 \partial U_1} & \frac{\partial^2 g}{\partial U_2^2} & \dots & \frac{\partial^2 g}{\partial U_2 \partial U_n} \\ \dots & \dots & \dots & \dots \\ \frac{\partial^2 g}{\partial U_n \partial U_1} & \frac{\partial^2 g}{\partial U_n \partial U_2} & \dots & \frac{\partial^2 g}{\partial U_n^2} \end{bmatrix}_{u^*}$$

پس از مجموعه‌ای از انتقالات خطی، تابع حد حالت به صورت زیر ساده می‌شود:

$$q(U) = U_n - \left(\beta + \frac{1}{2} U^T D U' \right) \quad (15)$$

در رابطه بالا $U' = \{U_1, U_2, \dots, U_{n-1}\}$ و D ماتریس قطری با ابعاد $(n-1) \times (n-1)$ است که المان‌های آن توسط ماتریس H به دست می‌آید. بدین ترتیب می‌توان ثابت نمود که احتمال واماندگی در روش تقریب مرتبه دوم از رابطه زیر محاسبه می‌شود [۱۷]:

$$p_f = P\{g(X) < 0\} = \Phi(-\beta) \prod_{i=1}^{n-1} (1 + \beta k_i)^{1/2} \quad (16)$$

به این ترتیب شاخص ایمنی را می‌توان از رابطه زیر به دست آورد:

$$\beta = \frac{\mu_g}{\sigma_g} \quad (7)$$

در صورتی که پارامترهای طراحی دارای توزیع نرمال باشند، تابع حد حالت تقریبی نیز دارای توزیع نرمال بوده و محاسبه انتگرال (۳) منجر به رابطه (۸) خواهد شد.

$$P_f = 1 - \Phi(\beta) \quad (8)$$

در این رابطه، $\Phi(\cdot)$ تابع توزیع تجمعی نرمال استاندارد است. مطابق با شکل ۲ نسخه توسعه یافته این روش براساس نگاشتی از مجموعه متغیرهای تصادفی در دستگاه مختصات X به مجموعه‌ای از متغیرهای غیروابسته با توزیع نرمال استاندارد معادل در دستگاه مختصات U به دست می‌آید [۱۴-۱۵]:

$$u_i = \frac{x_i - \mu_{x_i}}{\sigma_{x_i}} \quad (9)$$

در چنین شرایطی تابع حد حالت در دستگاه U به صورت زیر نوشته خواهد شد:

$$g(U) = g(\{\sigma_{x_1} u_1 + \mu_{x_1}, \sigma_{x_2} u_2 + \mu_{x_2}, \dots, \sigma_{x_n} u_n + \mu_{x_n}\}^T) = 0 \quad (10)$$

در اینصورت تقریب مرتبه اول بسط تیلور آن عبارت است از:

$$g(U) \approx g(U^*) + \sum_{i=1}^n \frac{\partial g(U^*)}{\partial U_i} (u_i - u_i^*), \quad (11)$$

$$\frac{\partial g(U)}{\partial U_i} = \frac{\partial g(X)}{\partial x_i} \sigma_{x_i}.$$

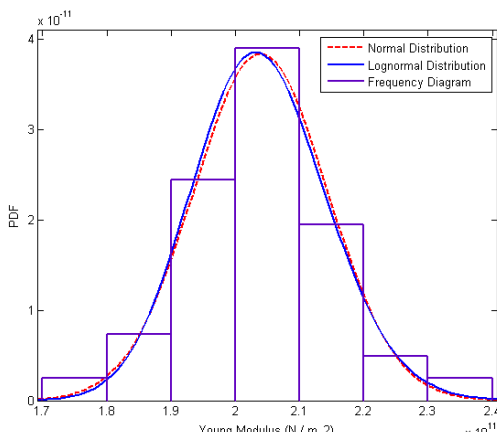
مطابق شکل ۲ هر نقطه بر روی منحنی حد حالت تقریبی در دستگاه مختصات U که دارای کمترین فاصله از مبدأ مختصات باشد، نقطه‌ای است (U^*) که بیشترین احتمال واماندگی^۱ را سبب می‌شود. فاصله این نقطه از مبدأ مختصات نمایانگر شاخص ایمنی می‌باشد.

$$OP^* = \beta = \frac{g(U^*) - \sum_{i=1}^n \frac{\partial g(U^*)}{\partial x_i} \sigma_{x_i} u_i^*}{\sqrt{\sum_{i=1}^n \left(\frac{\partial g(U^*)}{\partial x_i} \sigma_{x_i} \right)^2}}. \quad (12)$$

باتوجه به استفاده از تابع توزیع نرمال معادل برای متغیرهای تصادفی، احتمال واماندگی سازه را نیز می‌توان از رابطه (۸) محاسبه نمود. همچنین اهمیت نسبی هر یک از پارامترهای نامشخص بر شاخص ایمنی قابلیت اعتماد توسط ضریب حساسیت به صورت زیر محاسبه خواهد شد:

$$\alpha_i = \frac{\frac{\partial(X^*)}{\partial x_i} \sigma_{x_i}}{\left[\sum_{i=1}^n \left(\frac{\partial(X^*)}{\partial x_i} \sigma_{x_i} \right) \right]^{1/2}} \quad (13)$$

1-Most Probable Failure Point (MPP)



شکل (۳): نمودار هیستوگرام و توزیع‌های فراوانی توابع نرمال و لگاریتمی نرمال برای ضریب یانگ.

اگرچه تطابق ظاهری هر دو توزیع یکسان می‌باشد و هر دو پوش مناسبی برای منحنی هیستوگرام مربوطه هستند، لیکن لازم است که انتخاب منحنی مناسب‌تر براساس آزمون چگونگی انطباق^۲ صورت گیرد. در این مقاله از روش آزمون انطباق چی اسکوئر^۳ استفاده شده است [۱۹]. این روش آزمون برای توزیع‌های ناپیوسته مناسب است و در آن اختلاف مقادیر متناظر از توزیع مشاهدات (n) و توزیع فرضی یا انتظاری (e) طبق رابطه زیر به دست می‌آید.

$$\chi^2 = \sum_{i=1}^m \frac{(n_i - e_i)^2}{e_i} \quad (17)$$

در این رابطه، m گستره تغییرات است. توزیع چی اسکوئر عبارت است از یک توزیع پیوسته برحسب تعداد درجات آزادی k = m-1-f. که در آن، f تعداد پارامترهای ضروری جهت تعیین توزیع انتظاری می‌باشد. آزمون فرضیه با مقایسه شاخص تفاوت (χ^2) به دست آمده با مقدار بحرانی آن از جدولی بر مبنای احتمال وقوع خطای نوع اول α و درجات آزادی صورت می‌گیرد. هرگاه شاخص به دست آمده از مقدار بحرانی آن کمتر باشد با احتمال 1- α توزیع‌های تجربی و انتظاری در انطباق با هم می‌باشند. احتمال α همان سطح اهمیت^۴ است. مقادیر متداول احتمال سطح تشخیص برای این آزمون ۰.۱٪ و ۰.۵٪ می‌باشد و انتخاب یکی از این دو بستگی به درجه قطعیت تشخیص موردنیاز در مسئله دارد. نتایج این آزمون برای مقادیر ضریب یانگ مطابق با جدول ۳ می‌باشد.

که در آن، K نماینگر مقدار انحنای تابع حد حالت در نقطه MPP می‌باشد

۴- مدل توزیع فراوانی برای ضریب یانگ

در این مقاله به منظور احتساب احتمال اثرات ناشی از تنزل مواد^۱ برای تعیین تابع توزیع مدلول الاستیسیته، نتایج آزمایش کشش از نمونه‌های فولادی ۴۳۴۰ با عمر تقویمی بیش از ۳۵ سال مورد استفاده قرار گرفته است. نتایج حاصله براساس استاندارد ASTM E8 مطابق با جدول ۱ می‌باشد.

جدول (۱): مقادیر ضریب ارجاعی فولاد در ۴۱ آزمایش کشش.

Test No.	E(GPa)	Test No.	E(GPa)	Test No.	E(GPa)
۱	۱۹۹/۲۶۶	۱۱	۱۹۳/۷۵	۲۱	۲۱۴/۴۳۵
۲	۲۰۱/۳۳۴	۱۲	۲۰۸/۲۲۹	۲۲	۲۰۲/۰۲۴
۳	۱۹۵/۸۱۸	۱۳	۲۳۰/۲۹۳	۲۳	۲۰۲/۰۲۴
۴	۲۰۶/۱۶۱	۱۴	۲۱۰/۹۸۷	۲۴	۲۱۵/۸۱۴
۵	۱۹۸/۵۷۶	۱۵	۱۷۸/۵۸۱	۲۵	۱۸۹/۶۱۳
۶	۱۹۰/۳۰۲	۱۶	۲۱۵/۸۱۴	۲۶	۲۰۲/۷۱۳
۷	۲۰۴/۰۹۲	۱۷	۲۱۰/۲۹۸		
۸	۱۹۵/۱۲۹	۱۸	۱۹۹/۹۵۵		
۹	۲۰۴/۰۹۲	۱۹	۲۰۲/۷۱۳		
۱۰	۲۰۲/۰۲۴	۲۰	۲۱۰/۲۹۸		

مهمترین شاخص‌های آماری این نتایج شامل مقدار متوسط، واریانس و انحراف استاندارد در جدول ۲ نشان داده شده است.

جدول (۲): شاخص‌های آماری ضریب یانگ.

μ_E (GPa)	Var(E) (Pa)	σ_E (GPa)
۲۰۳/۲۴۳	۱/۰۳۸۷۹E۲۰	۱۰/۱۹۲۱۲۱

به منظور انتخاب توزیع فراوانی مناسب جهت تطابق بهتر نتایج، دو تابع توزیع نرمال و نرمال لگاریتمی مورد ارزیابی قرار گرفته است. شکل ۳ نمودار هیستوگرام این نتایج را برای توابع توزیع فراوانی نرمال و لگاریتمی نرمال نشان می‌دهد.

2-Goodness of Fit Tests

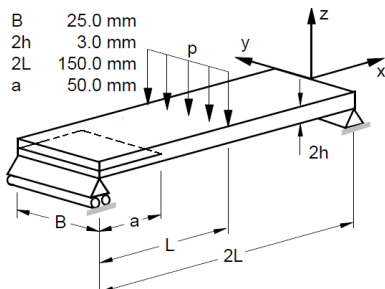
3 -Chi Squared

4- Level of Significance

1- Material Degradation

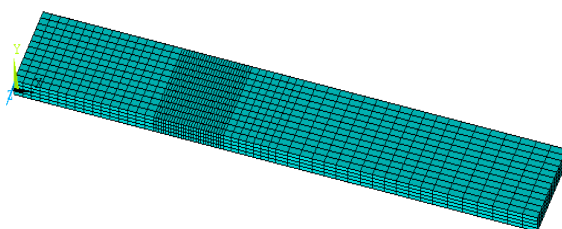
۱-۵- نمونه فولادی ENF

شکل ۴ مدل نمونه ENF را نشان می‌دهد. از این مدل به طور نسبتاً گسترده‌ای در تحلیل و بررسی رشد ترک بین لایه‌ای جهت تعیین مقدار بحرانی میزان رهائی انرژی کرنشی در مددو خالص استفاده شده است [۲۰].



شکل (۴): مدل نمونه ENF

در این مثال براساس نتایج بخش ۴، جنس نمونه از فولاد ۴۳۴۰ درنظر گرفته شده و قسمت‌های جدادشده صفحه در اثر ترک ایجاد شده است. حل تحلیلی این مدل به طور کامل در مرجع [۲۱] تشریح شده. شکل ۵ مدل مشبندی را با استفاده از المان SOLID185 نشان می‌دهد. قسمت‌های جدادشده صفحه‌ی ناشی از ترک توسط المان‌های تماسی غیرخطی سه‌بعدی ناشی از ترک توسط المان‌های تماسی غیرخطی TARGE170 و CONTA173 مدل شده‌اند.



شکل (۵) : مدل اجزاء محدود ENF

مقدار G_{II} محاسبه شده توسط روش بسته‌شدن مجازی ترک، برای اندازه‌های مختلف المان نوک ترک و نیروی گسترده ۴۰ نیوتون بر میلی‌متر در جدول ۴ نشان داده شده است.

جدول (۴) : مقادیر G_{II} برای اندازه‌های مختلف المان در نوک ترک در بار ۴۰ N/mm

Crack Tip Element size (mm)	G_{II} (N/mm)
۰/۷۲	۲/۲۹
۰/۵۵	۳/۲۴
۰/۳۸	۳/۳۶
۰/۲۹	۳/۴
۰/۲۵	۳/۴۲

جدول (۳): آزمون انتخاب چی برای ضریب یانگ.

E (GPa)	n_i	e_i		χ^2	
		normal	Lognormal	Normal	Lognormal
<۱۹۳	۳	۴/۱۳۰	۴/۲۰۲	۰/۳۰۹۱	۰/۳۴۳۸
۱۹۳-۱۹۹	۵	۴/۷۱	۵/۴۰۸	۰/۰۱۷۸	۰/۰۳۰۷
۱۹۹-۲۰۶	۱۰	۷/۰۸۲	۷/۲۲۸	۱/۰۲۳	۰/۹۷۴۲
۲۰۶-۲۱۳	۴	۵/۶۹۵	۵/۲۰۳	۰/۰۴۴	۰/۲۷۸۱
>۲۱۳	۴	۴/۳۸۳	۴/۰۳۹	۰/۰۳۳۴	۰/۰۰۳
مجموع		۲۶	۲۶	۲۶	۱/۶۲۷۴

ستون اول محدوده گسترده تغییراتی انتخابی برای مدول یانگ و ستون دوم تعداد مشاهدات حاصل از آزمایش را در این محدود نشان می‌دهد. تعداد مشاهدات برای دو تابع فرضی و یا انتظاری نرمال و لگاریتمی نرمال در ستون‌های سوم و چهارم براساس جداول مربوطه به دست آمده است. ستون‌های پنجم و ششم شاخص تفاوت را برای توزیع‌های فرضی نشان می‌دهد. با توجه به این‌که تعداد پارامترهای لازم برای شناسایی توابع فرضی نرمال و لگاریتمی نرمال، دو پارامتر مقدار متوسط و انحراف استاندارد می‌باشد، لذا با درنظر گرفتن مقدار ۵٪ سطح تشخیص و استفاده از جداول مربوطه خواهیم داشت:

$$f=5-1-2=2 \quad (18)$$

$$C_{1-\alpha,f} = C_{0.95,2} \xrightarrow{\text{chi squared table}} 5.991 ,$$

$$> 2.0673 , 1.6274 \quad (19)$$

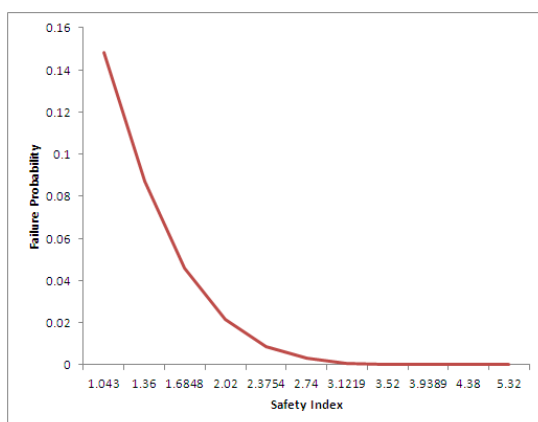
از آنجاکه مقدار خطای حاصل از آزمون انطباق چی از مقدار خطای هر دو توزیع فرضی کمتر می‌باشد، لذا انتخاب هر دو توزیع مناسب بوده ولی با توجه به مقدار اختلاف تابع نرمال لگاریتمی از خطای آزمون انتخاب، فرض توزیع لگاریتمی نرمال مناسب‌تر می‌باشد.

۵- مثال‌های عددی

نظر به اهمیت اثر پارامترهای نامشخص در دانش مکانیک شکست، ارزیابی الگوریتم ارائه شده جهت محاسبه انرژی شکست بین لایه‌ای در دو نمونه ENF مواد همسانگرد در مددو خالص و DCB مواد مرکب لایه‌ای در مددو خالص انجام شده است. به این منظور از مکانیک شکست ارجاعی خطی جهت تحلیل میزان رهایی انرژی کرنش توسط روش بسته شدن مجازی ترک^۱ استفاده شده است.

جدول (۶): مقادیر شاخص ایمنی، احتمال واماندگی و تابع حد حالت.

iteration	Safety index	Probability of failure	Limit state
۱	.۰/۰۲۲۷۷۴۴۴	.۰/۴۹۱۰۷۴۶۳۲۵۹۶۲۸۸۱	۵/۰۵۹۰
۲	۷/۳۷۰.۹۷۷۱۴	.۰/.....۰۸۴۷۲	-۷/۷۲۶۳
۳	۵/۱۸۵۸۴۲۸۵	.۰/.....۰۱۰۷۵۲۰۰۴۳۷	-۱/۶۰۹۵
۴	۴/۴۴۵۱۷۳۸۸	.۰/.....۰۴۳۹۱۰۴۰۳۰۰۴۲	-۰/۱۲۵۸
۵	۴/۳۷۶۹۱۹۸۷	.۰/.....۰۶۰۱۸۴۱۰۱۱۰۷۸	-۰/۰۰۹۴۵



شکل (۶) : نمودار تغییرات احتمال واماندگی بر حسب شاخص ایمنی.

مطابق این نمودار رابطه احتمال واماندگی و ضریب اطمینان یک رابطه غیرخطی است. به عنوان مثال میزان افزایش احتمال واماندگی مدل ENF بهزای کاهش شاخص ایمنی از ۲/۷۴ به ۲/۰۲ با احتمال واماندگی آن بهزای کاهش شاخص ایمنی از ۲/۰۲ به ۱/۳۶ قابل مقایسه نمی‌باشد. همچنین به کارگیری شاخص‌های ایمنی بالاتر از ۳/۵۲ به سبب کاهش احتمال واماندگی تنها موجب افزایش هزینه‌ها می‌گردد. شکل ۷ اثر میزان نامعینی پارامتر مدل الاستیسیته را بر شاخص ایمنی مدل ENF بهزای بار واردہ با ضریب واریانس ۰/۱ نشان می‌دهد. برای این منظور مقادیر مدل الاستیسیته در ضریب واریانس‌های مختلف مورد تحلیل قرار گرفته است. همانطورکه در تصویر دیده می‌شود در یک بار مشخص با افزایش میزان نامعینی مدل الاستیسیته (افزایش ضریب واریانس)، شاخص ایمنی کاهش می‌یابد. به طوری که برای مثال در بار ۱۰۰۰ نیوتون کاهش ضریب ایمنی از ۴/۹۱ در ضریب واریانس ۰ به ۳ در ضریب واریانس ۰/۲۵ رخ می‌دهد. این بدان معنی است که

نتایج نشان می‌دهد که وابستگی روش بسته‌شدن مجازی ترک به اندازه المان نوک ترک چندان زیاد نبوده و می‌توان با المان‌های نسبتاً کوچکی به مقدار نسبتاً دقیقی از G دست یافت. مقدار محاسبه شده G_{II} با استفاده از حل تحلیلی مرجع [۲۱] برابر با ۳/۲۸ می‌باشد که به نتایج حاصل از روش اجزاء محدود این مثال نزدیک است.

پارامترهای نامشخص در این تحلیل شامل ضریب یانگ ماده، نیروی اعمالی و مقدار بحرانی میزان رهائی انرژی کرنشی می‌باشد. این مشخصه‌های آماری مطابق با جدول ۵ درنظر گرفته شده‌اند. مقدار بحرانی میزان رهائی انرژی کرنشی ارائه شده در جدول ۵ براساس فاکتور شدت تنش بحرانی از مرجع [۲۲] به دست آمده و مقدار بحرانی فاکتور شدت تنش در مد دوم نیز مطابق با معیار حداکثر تنش [۲۳].

جدول (۵): مشخصه‌های آماری پارامترهای نامشخص مدل ENF

Uncertainties Parameters	Mean Value	Coefficient of variance (COV)	Probability Distribution	Reference
a (mm)	۵۰	variable	Normal	arbitrarily assumed
E (Gpa)	۲۰۳/۲۴۳	.۰/۰۵	Log-normal	Section 4
G_{IIc} (N/mm)	۸/۱۴۹	.۰/۰۶	Log-normal	[۱۵]
P (N)	variable	.۰/۱	Normal	arbitrarily assumed

با درنظر گرفتن مقدار بحرانی میزان رهائی انرژی کرنشی، معادله حد حالت برای مدل ENF مطابق با معادله (۱۸) درنظر گرفته شده است.

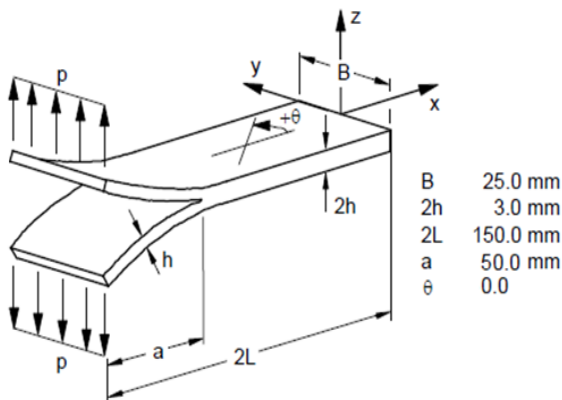
$$g(X) = G_{II} - G_{IIc} \quad (20)$$

جدول ۶ نتایج حاصل از این تحلیل را به ازای نیروی ۱۰۰۰ نیوتون نشان می‌دهد. همان‌طورکه از نتایج پیداست مقادیر شاخص ایمنی و احتمال واماندگی در تکرار دوم به ترتیب بیشترین و کمترین مقدار ممکن را دارا می‌باشند ولی میزان رهائی انرژی کرنشی از مقدار بحرانی آن بسیار بیشتر بوده، لذا مقادیر مربوط به شاخص‌های قابلیت اعتماد این تکرار نمی‌توانند قابل قبول باشند.

شکل ۶ نمودار تغییرات احتمال واماندگی را بر حسب شاخص ایمنی نشان می‌دهد. این نمودار از کاهش مقادیر متوسط نیروی اعمالی و افزایش پارامترهای مقاومتی نظیر طول ترک، ضخامت و عرض مدل به دست آمده است.

۲-۵- نمونه DCB کامپوزیت تک جهت

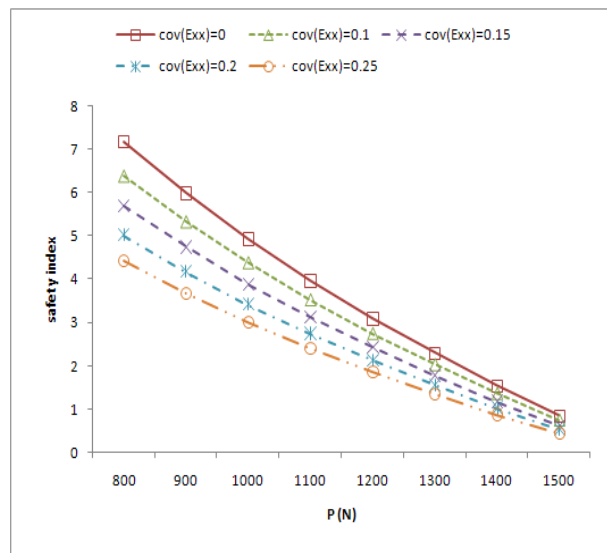
استفاده از مواد مرکب متتشکل از لایه‌های تقویت شده با الیاف به طور روزافزون در حال گسترش است. این مواد ضمن دارا بودن استحکام و سختی مناسب، قابلیت تقلیل وزن سازه‌ها را نیز دارا هستند. علی‌رغم وجود این مزایا، استعداد نسبتاً بالای شکست بین لایه‌ای، یکی از موارد ضعف این مواد تلقی می‌شود. از مهمترین علل گسیختگی و محدود بودن عمر این مواد، جدایش لایه‌ها است که در اثر عوامل مختلف به وقوع می‌پیوندد [۲۳-۲۵]. با توجه به ماهیت لایه‌ای و غیرهمسان بودن مواد مرکب، یکی از مهمترین شاخص‌های تحقیقاتی در این زمینه یافتن روش‌هایی برای تحلیل دقیق شکست و گسیختگی می‌باشد. در این مثال میزان رهایی انرژی کرنشی با استفاده از روش بسته‌شدن مجازی ترک در مد اول خالص با درنظر گرفتن اثر پارامترهای نامعین طراحی در مدل DCB محاسبه می‌شود. شکل ۸ هندسه نمونه مورد استفاده در این تحلیل را نشان می‌دهد.



شکل (۸): مدل نمونه DCB

مشخصه‌ی آماری پارامترهای نامشخص که تنها شامل خواص مکانیکی می‌باشد مطابق با جدول ۸ درنظر گرفته شده است [۲۶]. در این مثال به‌منظور کاهش زمان اجرا، مقادیر ضریب پواسون را قطعی^۱ فرض می‌نماییم. معادله حد حالت نیز مطابق با رابطه (۱۸) در مد اول درنظر گرفته شده است. شاخص‌های قابلیت اعتماد همراه با زمان لازم برای همگرایی مسئله توسط روش‌های FORM2 و SORM به‌ازای نیروی ۲۵ نیوتون در جدول ۹ آرائه شده است.

بدون احتساب اثرات نامعینی پارامترهای مدل، جهت‌گیری طراحی محافظه‌کارانه معکوس می‌شود.



شکل (۷): اثر تغییرات ضریب واریانس ضریب یانگ بر شاخص ایمنی.

جدول ۷ تفاوت مقادیر شاخص‌های قابلیت اعتماد در مدل ENF را با استفاده از روش تقریب مرتبه‌اول و روش تقریب مرتبه‌دوم قابلیت اعتماد سازه‌ای و همچنین زمان لازم برای حل آن را در یک رایانه CPU 2.4GHz DuoCore™2 Intel® می‌دهد.

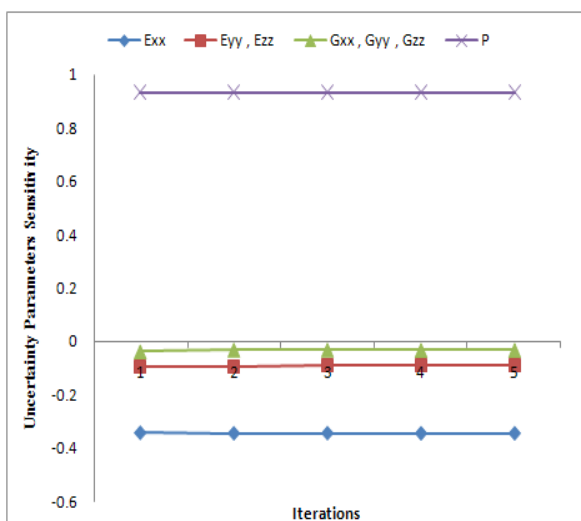
جدول (۷): مقادیر شاخص‌های ایمنی در روش تقریب ENF مرتبه‌اول و دوم برای مدل

	FORM	SORM
β	۴/۳۷۶۹	۴/۳۷۷۱
POF	۰/۰۰۰۰۰۶۰۱۸	۰/۰۰۰۰۰۶۰۲
Time (sec)	۹۴۲۱	۱۷۲۳۲

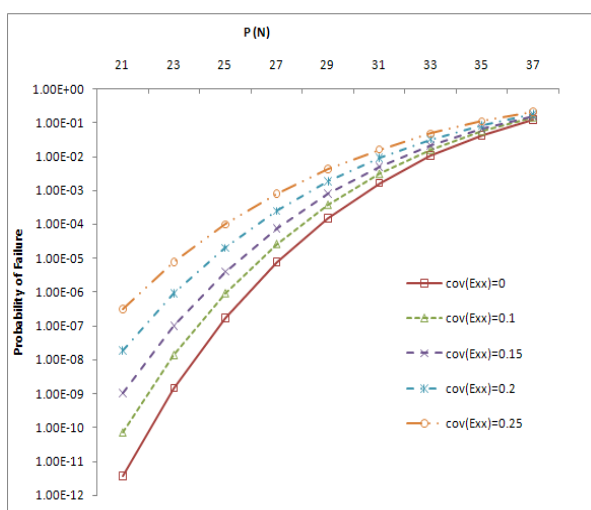
اگرچه شاخص‌های قابلیت اطمینان توسط دو روش، تفاوت چندانی با یکدیگر ندارند ولی مدت زمان همگرایی مسئله در روش تقریب مرتبه‌دوم به‌دلیل محاسبه مشتقات مرتبه‌اول و دوم توسط بسط اختلاف محدود تقریباً دو برابر روش تقریب مرتبه‌اول می‌باشد.

جدول (۱۰): تغییرات ضریب حساسیت پارامترها نامعین مدل P=25 N بهازای DCB

item	α	Iteration				
		۱	۲	۳	۴	۵
۱	α_{Exx}	-۰/۳۴۳	-۰/۳۴۴۹	-۰/۳۴۴۲	-۰/۳۴۴۸	-۰/۳۴۴۸
۲	α_{Eyy}	-۰/۰۹۵۲	-۰/۰۹۲۸	-۰/۰۸۹۴	-۰/۰۹۰۷	-۰/۰۹۰۷
۳	α_{Ezz}	-۰/۰۹۵۲	-۰/۰۹۲۸	-۰/۰۸۹۴	-۰/۰۹۰۷	-۰/۰۹۰۷
۴	α_{Gxx}	-۰/۰۳۸۱	-۰/۰۳۱۵	-۰/۰۳۱۵	-۰/۰۳۲۵	-۰/۰۳۲۵
۵	α_{Gyy}	-۰/۰۳۸۱	-۰/۰۳۱۵	-۰/۰۳۱۵	-۰/۰۳۲۵	-۰/۰۹۰۷
۶	α_{Gzz}	-۰/۰۳۸۱	-۰/۰۳۱۵	-۰/۰۳۲۰	-۰/۰۳۲۵	-۰/۰۹۰۷
۷	α_P	۰/۹۳۳۷۱	۰/۹۳۳۵۰	۰/۹۳۴۰۶	۰/۹۳۳۷۰	۰/۹۳۳۷۰



شکل (۹) : اثر ضریب حساسیت پارامترهای نامعین بر شاخصه ایمنی قابلیت اعتماد.



شکل (۱۰) : تغییرات احتمال واماندگی بهازای مقادیر مختلف ضریب واریانس مدل الاستیسیته.

جدول (۸) : مشخصه‌های آماری خواص مکانیکی ماده کربن فایبر اپوکسی T800-924C

Random Variables	Mean Value	COV	Probability Distribution
E_{xx} (GPa)	۱۶۸	۰/۱	Log-Normal
E_{yy} (GPa)	۹/۵	۰/۰۵	Log-Normal
E_{zz} (GPa)	۹/۵	۰/۰۵	Log-Normal
v_{xx}	۰/۲۷	-	-
v_{yy}	۰/۲۷	-	-
v_{zz}	۰/۲۷	-	-
G_{xx} (GPa)	۴/۶	۰/۰۵	Log-Normal
G_{yy} (GPa)	۴/۶	۰/۰۵	Log-Normal
G_{zz} (GPa)	۴/۶	۰/۰۵	Log-Normal
G_{IC} (N/mm)	۰/۲۵	۰/۱	Normal
P	Variable	۰/۱	Normal

جدول (۹) : شاخصه ایمنی و احتمال واماندگی در روش تقریب مرتبه اول و دوم.

	FORM	SORM
β	۲/۶۰۶	۲/۶۰۰۵
POF	۰/۰۰۴۶	۰/۰۰۴۷
TIME (sec)	۹۳	۶۵۷

همان‌طورکه قبل ذکر شد یکی از ویژگی‌های روش قابلیت اعتماد تعیین میزان اثر هر یک از پارامترهای نامعین بر ایمنی سازه می‌باشد. بر این اساس جدول ۱۰ و شکل ۸ به ترتیب مقادیر و نمودار ضریب حساسیت پارامترهای نامعین را بر شاخص ایمنی قابلیت اعتماد مدل DCB بهازای نیروی متوسط ۲۵ نیوتون نشان می‌دهد.

همان‌طورکه در شکل ۹ مشاهده می‌شود، از میان پارامترهای نامعین جدول ۱۰ تنها اثر مدل الاستیسیته در جهت X (ردیف اول) و نیروی اعمالی (ردیف هفتم) دارای بیشترین تاثیر بر شاخصه ایمنی مدل هستند و تأثیر سایر پارامترهای نامعین بر شاخصه ایمنی قابل توجه نمی‌باشد. ضمناً وجود ضرایب منفی به معنی افزایشتابع حد حالت با افزایش پارامتر نامشخص در آن ضرایب می‌باشد.

براساس نتایج حاصل از جدول ۹، می‌توان اثر پارامتر نامعین E_{xx} را بهازای مقادیر مختلف ضریب واریانس آن بر احتمال واماندگی مدل با درنظرگرفتن نیروهای متفاوتی با ضریب واریانس ۰/۰ به دست آورد. شکل ۱۰ نتایج حاصل از این تحلیل را نشان می‌دهد.

این نتایج، استفاده ازتابع توزیع لگاریتمی نرمال را برای این ضریب در این نوع فولاد توصیه می‌نماید.

۷- مراجع

1. MIL-HDBK-5J, "Metallic Materials and Elements for Aerospace Vehicle Structures", 2003
2. Tiffany, Charles F. "Aging of US Air Force Aircraft", USAF Structural Integrity Program Conference, 11 December 1997.
3. Lincoln, J.W. "Method for Computation of Structural Failure Probability for an Aircraft", ASD-TR-80-5035, July 1980.
4. Lincoln, J. "Risk Assessment of an Aging Military Aircraft" J. of Aircraft, Vol. 22, No. 9, pp. 687 – 691, 1985.
5. Long, W. and Narciso, J.D. "Probabilistic Design Methodology for Composite Aircraft Structures" DOD/FAA/AR-99/2, Final Report, June 1999.
6. Kiureghian, D., Ditlevsen, O. "Aleatory or Epistemic? Does it Matter?", Structural Safety Vol. 31, No. 7, pp. 105-112, 2009.
7. Straub1, D., Kiureghian, D. " Bayesian Network Enhanced with Structural Reliability Methods: Application", Journal of Engineering Mechanics, Trans. ASCE, Vol. 136, No. 10, pp. 1259-1270, 2010.
8. Straub1, D., Kiureghian, D., "Reliability Acceptance Criteria for Deteriorating Elements of Structural Systems", Journal of Structural Engineering, Trans. ASCE, Vol. 137, No. 12, pp. 1573–1582, 2011.
9. Kiureghian, D., Haukaas, Fujimura, A., T. "Structural Reliability Software at the University of California, Berkeley", Structural Safety, Vol. 28, pp. 44-67, 2006.
10. Liu, W.K. and Mani, A. "Finite Element Methods in Probabilistic Mechanics", Probabilistic Engineering Mechanics, Vol. 2, No. 4, pp. 201-213, 1988.
11. Liu P.L. and Kiureghian, D, "Finite Element of Geometrically Non-linear Uncertain Structures", Journal of Engineering Mechanic Division of American Society of Civil Engineers, Vol. 117, No. 8, pp. 1806-1825, 1991.
12. Wirsching, H. "Literature Review on Mechanical Reliability and Probabilistic Design", Probabilistic Structural Analysis Methods for Select Space Propulsion System Components", NASA Contractor Report 189159, Vol. 3 , 1992.
13. Cornell, C.A. "A Probability - Based Structural Code", Journal of American Concrete Institute, Vol. 66, No. 12, pp. 171-200, 1969.
14. Hasofer, A.M., and Lind, N.C. " Exact and invariant Second Moment Code Format" Journal of Engineering Mechanics Division, ASCE, Vol. 100, No. 4, pp. 111-121, 1974.
15. Hohenbichler, M., and Rackwitz, R., "Non-Normal Dependent Vectors in Structural Safety", Journal of the Engineering Mechanics Division, ASCE, Vol. 107, No. 6, pp.1227-1238,1981.

نتایج نشان می‌دهند که هرچه مقدار ضریب واریانس یا میزان اتفاقی بودن این نسبت برای مدول الاستیسیته بیشتر می‌گردد، احتمال واماندگی سازه افزایش می‌یابد. به عبارت دیگر، فرض قطعی بودن مقدار مدول الاستیسیته بیانگر یک تحلیل غیرمحافظه‌کارانه در تحلیل مکانیک شکست مدل می‌باشد.

۶- نتیجه‌گیری

در این مقاله با تأکید بر نامعین بودن پارامترهای طراحی و بهدلیل اهمیت کمیت بخشی به متغیرهای نامشخص و حضور صریح اثرات آنها در تحلیل‌های سازه‌ای و نیز به علت عدم دسترسی به نرمافزارهای اجزاء محدود احتمالی در داخل، روشنی جهت تحلیل سازه‌ای با درنظرگرفتن طبیعت نامعین این پارامترها، براساس تقریب مرتبه‌اول و دوم روش قابلیت اعتماد با استفاده از امکانات نرمافزار جامع تحلیل سازه‌ای ANSYS ارائه گردیده است. در این الگوریتم معادله حد حالت از حل مدل اجزاء محدود حاصل شده و گرادیان‌های مربوطه نیز با استفاده از حل اختلاف محدود پیشرو در محیط MATLAB و براساس نتایج مدل اجزاء محدود در یک فرآیند دوره‌ای محاسبه می‌شوند. کارائی این الگوریتم توسط دو مثال عددی در مکانیک شکست برای مواد همسانگرد و مرکب مورد ارزیابی قرار گرفته است. نتایج نشان می‌دهد که فرض قطعی برای مقادیر خواص مکانیکی، در مقایسه با مقادیر اتفاقی پارامترها (ضرایب مختلف واریانس)، سبب اختلاف در احتمال واماندگی سازه در محدوده قابل ملاحظه‌ای می‌شود، که پوشش این محدوده تنها توسط یک ضریب اطمینان مشخص در رهیافت‌های قطعی کاری دشوار و اغلب مبتنی بر تجربه است. همچنین تعیین میزان تأثیرپذیری شاخص‌های ایمنی سازه، توسط هر یک از پارامترهای طراحی، از نکات قابل توجه در تحلیل سازه‌ای برمبنای این‌گونه روش می‌باشد. برخورداری از امکانات نرمافزار ANSYS در این الگوریتم سبب افزایش توانائی در راستای تحلیل مسائل پیچیده‌تر شده است و به طور نسبی می‌تواند خلاص نرمافزارهای اجزاء محدود احتمالی را پر نماید. همچنین در این مطالعه برای تعیین تابع توزیع فراوانی مدول الاستیسیته و به کارگیری آن در تحلیل قابلیت اعتماد، از نتایج تست کشش ۲۶ نمونه آلیاژ فولاد ۴۳۴۰ با عمر تقویمی بیش از ۳۵ سال استفاده شده که تحلیل‌های آماری حاصل از

- 16.Breitung, K., "Asymptotic Approximations for Multinormal Integrals", Journal of the Engineering Mechanics Division, ASCE, Vol. 110, No. 3, pp. 357-366, 1984.
- 17.Tvedt, L., "Two Second-Order Approximations to the Failure Probability", Section on Structural Reliability, A/S Vertas Research, Hovik, Norway, 1984.
- 18.Tvedt, L., "Distribution of Quadratic Forms in Normal Space Applications to Structural Reliability", Journal of the Engineering Mechanics Division, ASCE, Vol. 116, No. 12, pp. 1183-1197, 1990.
- 19.Bury, K. "Statistical Distributions in Engineering", Cambridge University Press, 1999.
- 20.Sun, C.T. and Zhang, S. "Delamination Characteristics of Double-Cantilever Beam and End-Notched Flexure Composite Specimens", Composites Science and Technology, Vol. 56, No.4, pp. 451-459, 1996.
- 21.Williams, G.J. "On the Calculation of Energy Release Rates for Cracked Laminates", International Journal of Fracture, Vol. 36, No. 5, pp. 101-109, 1988.
- 22.Skinn, D.A., Gallagher, J.P."Damage Tolerant Design Handbook", Vol. 1, 1994.
- 23.Erdogan, F., Sih, G.C. "On the Crack Extension in the Plates Under Plane Loading and Transverse Shear", Journal of Basic Engineering, Vol. 85, No. 14, pp. 519-527, 1963.
- 24.Armstrong, K.B., Barret, R.T. "Care and Repair of Advanced Composites", SAE International, 1998.
- 25.Garg, A.C. "Delamination , A Damage Mode in Composite Structures", Engineering Fracture Mechanics, Vol. 29, No. 5, pp. 557-584, 1988.
- 26.Camanho, P.P., Davila C.G. and Ambur, D.R., "Numerical Simulation of Delimitation Growth in Composite Materials", NASA Technical Paper, TP 211041, 2001.